

摩擦壓接에 關한 考察 (1)

—Inertia 法을 中心하여—

吳 世 奉

(釜山水產大學 船用機械工學科)

1. 序 論

〈沿革과 現勢 및 展望을 中心하여〉

摩擦壓接의 發端은 1954年 쏘련의 I. Chudikov란 旋盤工이 作業中 偶然히 センタ와 加工物의 焼付로 부터 힌트를 얻어 金屬의 接合에 摩擦熱을 利用할 것을 提案하여 旋盤을 改造해서 金屬丸棒의 摩擦壓接實驗에 成功한데서始作되었고, 이것을 VNIIIESO(소련電氣熔接機研究所)가 받아들여 1956年부터 開發研究를 하여 1957年 同所에서 開發된 摩擦壓接機 MST-1이 發表되었다.

이보다 앞서 1891年 英國에서 wirerod를 壓接하는 方法의 特許가 成立되고, 1954年에도 이 方法에 關한 考察되어 1961年에 實用化되었는데, B.W.R.A. (英國熔接研究協會)가 開發研究한 摩擦壓接機가 發表되었다.

獨일에서는 第二次大戰中, 熱可塑性 合成樹脂 pipe의 接合에 應用한 바 있고, 오늘날 아헨 및 하노바工科大學를 中心으로 研究가 行해지고 있다.

美國에서는 1958年부터 同法에 關한 研究가 A.M.F.社 및 California工科大學에서 開始되어 1961年 A.M.F.社에서 試作機가 發表된 후, 1964年 A.M.F.社의 Cheng이 flywheel法(inertia法) 摩擦壓接機를 開發했고, 그후 Caterpillar社로 製作權이 넘어갔고 그 자매會社인 Production Technology社가 研究 보급에 힘써왔으며, 1967年부터 caterpillar를 위해 Inertia welder의 設計, 組立, 自動化를 담당해온 Adams Engineering社의 자매회사 Manufacturing Tec-

hnology社가 1976年에 設立되어 Inertia welding process를 適用한 Inertia welder를 研究 보급하고 있고, 오늘날 Cornell大學校의 Wang等의 研究가 活潑하다.

日本에서는, 1969年 VNIIIESO의 Vill의 著書 “金屬의 摩擦熔接”이 翻譯紹介된 것이 契機가 되어, 1963年 機械試驗所(現, 機械研究所)에서 實驗機를 試作한 후, 現在 摩擦壓接機 Maker는 8社나 되며, 同法을 採用하고 있는 User는 約 300工場, 摩擦壓接機의 設置臺數는 1000臺를 넘고, 技術者는 約 700~800名 된다고 한다. 이렇게 世界的的 優位를 누리고 있는 것은, 1964年 各試驗所, 研究所, 工場, 大學 等의 研究者가 摩擦壓接研究懇談會(現, 摩擦壓接研究會)를 設立하여, 이를 中心하여 同法의 實用化가 急速히 進展되었고, 慶應大學 工學部의 蓮井研究陣의 研究가 非常に 活潑하다.

이와같이 摩擦壓接法이 近 20年的 歷史를 가진 熔接法이지만 아직 낙선 部類에 屬하고 있다.

특히, 國內에서는 本機의 Maker는 全혀 없고, brake法에 依한 것에 限해 User로서는 2~3個社에 不過하고 inertia法에 依한 것은 1個社만으로 생각되며, 또한 잘 알려져있지 않은 實情이고, 同法 및 이의 應用面의 學術的研究는 筆者等에 依해 1973年부터 구준히 進行되어 왔고, 앞으로는 支援에 依해 더욱 活潑히 계속될 것이다.

先進國에서의 摩擦壓接 實用化를 보면, 自動車部品製造工業을 中心하여, 產業機械, 農業機械, 電氣機械部品, 船用機關, 航空機, 미사일 等의 部品 및 工具製造工程 等에 널리 採用되고 있

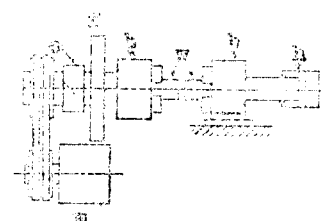
摩擦壓接에 關한 考察(1) □

어서, 오늘날 우리나라도 政府의 重工業育成方針에 依해 急速度로 機械工業이 發達됨에 따라, 이 摩擦壓接法이 各種 陸用, 航空用, 船舶用 機械의 生產一線에서 應用되어 生產時間과 工程의 短縮, 生產原價의 節減, 異種材料의 接合特性利用 等의 解決이 可能할 展望이 밝게 되었으므로, 摩擦壓接法에 關하여 계속 考察해 나가기로 한다.

여기서는 먼저 美國에서 開發된 Inertia法(flywheel法이라고도 함) 摩擦壓接에 關하여 考察조차 한다.

2. 摩擦壓接(inertia法)의 原理

摩擦壓接(inertia法)의 process는 두 素材(棒)를 接合하고자 하는 境遇, Fig.1과 같은 inertia friction welder의 主軸 chuck에 한쪽 棒을 固定한 flywheel等의 一體物이一定 速度(2500~3000 rpm)로 急加速 回轉되고一定 時間(1~2 초)後 電子 clutch에 依해 驅動이 차단되면 tail stock(心押臺)에 固定된 다른 棒과 回轉棒의 推力와 回轉에 依하여 回轉加壓摩擦이 生기고(Fig.2), 이때 回轉體의 速度가 減速됨에 따



b : bearing c : clutch f : flywheel
h : cylinder m : electric motor w : 素材

Fig. 1. Inertia Welder

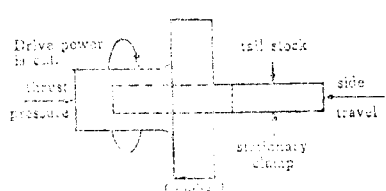


Fig. 2. 摩擦壓接(Inertia式) Process의 機構概略圖

라 惯性(inertia)에 依해서만 回轉하던 flywheel에 貯蓄된 運動에너지가 全部 摩擦熱에너지로 轉換되어 두 棒의 壓接面이 plastic溫度下에서 回轉과 加壓에 依한 forging work를 일으켜 惯性에 依한 回轉이停止함과 同時に 接合이 끝난다. 이때 加壓에 依해 突起된 ring 모양의 flash는 壓接完了後 冷却 前에 flash除去機에 依해 칡개 除去될 수 있다.

Inertia摩擦壓接法에 依한 壓接完成時間(1~10초)은 brake式摩擦壓接에 依한 것(10~60초)의 1/10程度이며 壓接部에 미치는 熱浸透速度도 훨씬 빠르며 brake摩擦壓接에서의 單位面積當入力(energy-input rate)이 約 1.6ps/cm²인데 比해 inertia法의 境遇는 3.2~24ps/cm²에 達하여 壓接部에 oxides나 voides가 없는 우수한 壓接이 이루어진다^{8,9)}.

Fig.3은 inertia法과 brake法摩擦壓接 cycle의 壓接變數 性能 比較圖이며 Fig.4는 壓接面熱入力 分布圖이다⁶⁾.

Fig.3에서 inertia法의 境遇가 torque 및 溫度上昇率 等이 훨씬 높고 壓接時間은 훨씬 짧다는

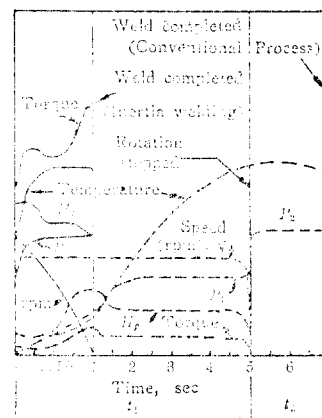


Fig. 3. Inertia法과 brake式摩擦壓接 cycle의 壓接變數 性能 比較圖

Welding parameters : Inertia F.W. Process-1. moment of inertia, I ; 2. initial speed, N ; 3. thrust pressure, P .
Brake type F.W. process-1. rotating speed, N_1 :
2. initial heating pressure, P_1 :
3. heating time, t_1 ; 4. upsetting (braking) time, t_2 ; upsetting pressure, P_2 .

□ 解 説

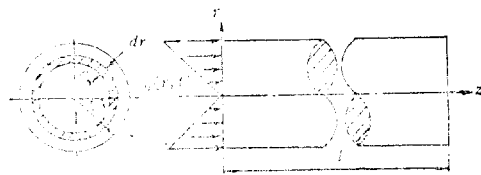


Fig. 4. 热入力의 分布

事實을 알 수 있다.

Fig.4에서 壓接面의 热入力과 热傳導에 對해 考察⁶하면 다음과 같다.

摩擦力에 依해 接觸面에 發生하는 热量 q 는 中心에서 半徑方向 距離 r 와 回轉速度 $n(t)$ 의 函數이므로,

$$q = \frac{12000\pi}{427} \mu \cdot p \cdot r \cdot n(t) \text{ kcal/m}^2 \cdot \text{hr} \quad (1)$$

잇금친 dr 部分에 作用하는 入力에 對한 热量 q' 는,

$$q' = \frac{24\pi^2}{4270} \mu \cdot p \cdot n(t) \cdot r^2 dr \text{ kcal/hr} \quad (2)$$

여기서, μ : 摩擦係數

p : 單位面積當 推力 (kg/cm^2)

$n(t)$: 回轉數 (rpm) (時間 t 的 函數)

r : 中心으로 부터의 距離

따라서, 1壓接 cycle 中 全接觸面에 發生한 總熱量 Q 는,

$$Q = 1.54 \times 10^{-5} \int_0^T \int_0^R \mu(r, t) \cdot p(r, t) \cdot n(t) \cdot r^2 \cdot dr \cdot dt \quad (3)$$

여기서, R : 壓接素材의 半徑 (cm)

T : 總壓接時間 (sec)

또, 壓接始作直前의 回轉體의 總運動에너지 E 는,

$$E = \frac{1}{2} I \omega^2 = \frac{I}{2} \left(\frac{2\pi N}{60} \right)^2 \text{kg} \cdot \text{m} \quad (4)$$

이것이 모두 摩擦熱로 전환되면

$$Q = \frac{E}{J} \quad (5)$$

여기서, I : 回轉體의 極慣性 moment ($\text{kg} \cdot \text{cm} \cdot \text{sec}^2$)

N : 初期回轉數 (rpm)

ω : 角速度 (rad/sec)

J : 热의 일當量 ($427 \text{kg} \cdot \text{m}/\text{kcal}$)

實驗에 依하면 回轉速度 $n(t)$ 와 時間 t 的 關係曲線이 大略 二次曲線으로 表示되므로,

$$n(t) = at^2 + bt + c \quad (a, b, c \text{는 常數}) \quad (6)$$

따라서, (3)式에 (6)式을 代入하여 (3)式을 積分하면,

$$Q = 8.0 \times 10^{-7} \mu \cdot P \cdot R^3 \cdot T (2aT^2 + 3bT + 6c) \quad (7)$$

(7)式과 (4)式을 (5)式에 代入하여 μp 에 關해 풀면 μp 의 値은,

$$\mu p = \frac{16.1 IN^2}{R^3 T (2aT^2 + 3bT + 6c)} \quad (8)$$

μp 의 値을 A 라 하면 (1)式의 热入力 q 는,

$$q(r, t) = 88.3A \cdot r \cdot n(t) \quad (9)$$

이것이 양쪽 棱으로 各各 均一하게 作用한다고 하면,

$$q(r, t) = 44.1 A \cdot r \cdot n(t) \quad (10)$$

이 式에서 热入力 q 는 中心에서의 거리 r 에 比例함을 알 수 있다.

한편 固體內의 不安定熱傳導에 對한 一般 偏微分方程式을 適用하면,

$$\frac{\partial^2 T'}{\partial r^2} + \frac{1}{r} \frac{\partial T'}{\partial r} + \frac{1}{r^2} \frac{\partial^2 T'}{\partial \phi^2} + \frac{\partial^2 T'}{\partial z^2} + q'' = \frac{1}{\alpha} \frac{\partial T'}{\partial t} \quad (11)$$

여기서, T' : 溫度

t : 時間

α : 固體의 热擴散度

q'' : 固體內의 單位體積當 热降下

z, r, ϕ ; Fig.4에서의 座標軸 및 回轉角

로 表示되어 Fig.4에서 回轉對稱體內에서의 热降下가 적다고 보면 (11)式은,

$$\frac{\partial^2 T'}{\partial r^2} + \frac{1}{r} \frac{\partial T'}{\partial r} + \frac{\partial^2 T'}{\partial z^2} = \frac{1}{\alpha} \frac{\partial T'}{\partial t} \quad (12)$$

初期狀態의 固體內의 溫度는 어디나 均一하므로,

$$T'(r, z) = T_\infty' \quad (13)$$

여기서, T_∞' : 周圍溫度

따라서, 境界條件은

$$-\kappa \left[\frac{\partial T'}{\partial z} \right]_{z=0} = q(r, t) \quad (14)$$

$$\left[\frac{\partial T'}{\partial r} \right]_{r=0} = 0 \quad (15)$$

$$\left(\frac{\partial T'}{\partial r} \right)_{r=R} = h(T_s' - T_\infty') \quad \dots\dots\dots (16)$$

$$\left(\frac{\partial T'}{\partial z} \right)_{z=I} = 0 \dots\dots\dots (17)$$

여기서, κ : 材料의 热傳導度

$q(r, t)$: (10)式에서 表示되는 壓接境界面에서의 热入力 函數

h : 热傳達의 平均係數

T_s' : 圓周面에서의 溫度

I : 棒의 길이

위의 여려 式들을 뒷발침하는 軟鋼棒(SAE1020)에 對한 inertia摩擦壓接部의 溫度分布에 關한 實驗結果⁶⁾는 紙面上省略하고 다음에 inertia摩擦壓接의 特性에 關해 說明한다.

3. Inertia 摩擦壓接의 接合特性

Inertia法에 依해 壓接된 境遇의 接合特性은 다음과 같다.

① Brake式摩擦壓接의 壓接條件(變數)¹⁰⁾이 回轉速度, 加熱時間, 加熱壓力, 加壓時間, 加壓壓力等 5個인데 比해, inertia法 境遇는 flywheel質量, 回轉速度 및 推力의 3個條件이 壓接性能을 調節하여 이 세 變數에 依해 超一慣性的 壓接을 얻기 為한 調整이 쉽다^{4,5,7)}.

② 두 壓接素材는 軸方向으로 加壓되어 맞대기 이음(butt joint)을 形成한다^{5,7)}, 그러나 圓錐形 butt welding이 可能하다.

③ 두 壓接素材中 하나는 壓接面이 圓形이거나 圓形에 가까운 것이라야 하며 이것이 棒이든 管이든 相關없다^{5),7)}.

④ 推力과 torque가 一般 機械加工力보다 커야하므로 inertia welder의 工具나 附屬品 設計��에 고려되어야 한다.

⑤ 形成된 壓接部는 強力한 固相結合을 나타내며 溶融이 일어나기直前에 塑性金屬(plastic metal)이 밀려나온다.

⑥ 이 塑性全屬의 代替가 本來의 壓接面의 粗雜性을 一掃하고 不純物을 壓接部에서 追放해준다^{4,10)}.

⑦ 壓接 結合部에서의 flash(ring 모양의 突起

部)는 境遇에 따라 除去될 必要가 있다.

⑧ 壓接週期中에는 단지 壓接面에서 극히 좁은 部分만이 加熱된다. 따라서, 壓接部는 熱降下役割을 하는 隣接 冷金屬母材에 依하여 담금질(quenching)이 된다. 이때, 壓接部의 硬度나 強度가 增加되나 硬度의 差나 残留應力を 없애고 多小의 韌性을 주기 為해 境遇에 따라서는 適切한 热處理가 必要하다^{10,11)}.

⑨ inertia法의 非溶融溫度(plastic temperature)와 急速한 壓接 cycle時間(數秒)과 回轉鍛接等이 여러 種類의 金屬接合에 理想的 條件을 提供한다.

⑩ 異種材質의 優秀한 壓接이 經濟的로 그치고 連續的으로 成就될 수 있다.

⑪ 操作法이 매우 簡單하고 쉬우며 壓接面의 清潔이나 壓接棒 및 添加劑가 必要없으며 多量 生產이 可能하다.

⑫ 壓接部의 热影響部는 매우 좁으며 溶融生成物이나 粒子成長이 없고 두 異種材質이 보다 強力하게 混合되어 緩密한 微細組織을 갖는다 (Fig.5)⁴⁾.

⑬ 最適 inertia welding의 壓接條件^{5,7)}下에서 壓接된 試片의 引張強度는 壓接部가 母材에서 일어나며 비틀림 疲勞破斷 역시 壓接部 아닌 母材에서 일어나므로 inertia F.W.에 依한 壓接強度가 優秀함을 알 수 있다^{3,4,8,10)}.

以上의 諸特性中 어떤 것은 生產性에 有益한 長點이 되나, 어떤 것은 應用面에 制限을 示唆



Fig. 5. Inertia摩擦壓接된 SAE8630-IN713C의 壓接部組織(100X).

解說

하고 있다.

4. 壓接素材의 接合形狀과 크기限度

壓接에 適應되는 두 壓接素材의 代表的 接合形狀은 管과 管, 管과 平板, 管과 棒, 管과 圓筒, 棒과 棒, 棒과 平板 等이다.

摩擦壓接素材의 크기는 各種 壓接機에 따라 다르나 主軸 Chuck에 물릴 最大直徑 限界가 15.2mm, 22.9mm, 25.4mm, 30.5mm, 45.7mm, 63.5mm, 101.6mm로 되어 있다. 그러나 오늘 날은 直徑이 2.54mm보다 작은 drill로 부터 直徑 610mm의 wheel에 이르기까지 摩擦壓接이 可能하며 길이로는 25.4mm以下의 것부터 5.5m以上에 이르기까지 接合可能하다. 生產型 摩擦壓接機에 依하면 6mm~102mm直徑의 鋼棒 또는 外徑 760mm가 넘는 薄은 두께의 管을 接合할 수 있다. 經濟的妥當性만 있다면 보다 크거나 작은 크기의 接合도 可能한 것이다.

5. Inertia 摩擦壓接의 材質限度

Inertia F.W.의 重要한 特性中의 하나는 廣

Table 1. Inertia 摩擦壓接이 可能한 代表의 金屬
材料一部

同種材質	異種材質
模素鋼 stainless 鋼	高速度鋼과 諸種의 鋼 燒結鋼과 軟鋼
工具 鋼	316 stainless鋼과 Inconel stainless鋼과 中·低炭素鋼
燒結 鋼	1100 및 6061 aluminum과 中炭素鋼
合金 鋼 aluminum 合金 鋼	cobalt系合金과 鋼 347 stainless鋼과 17-PH 純粹 titanium과 302 stainless鋼 銅과 1100 및 6061 aluminum
黃銅, 青銅 molybdenum waspalloy	銅과 中炭素鋼 銅과 諸種의 合金
cobalt 合金 titanium	銅合金과 銀 tungsten aluminum 青銅과 中炭素鋼
zincalloy Inconel	nickel系合金과 鋼 valve材料와 合金鋼 및 炭素鋼
nickel 合金 (bearing type을 例外)	

範圍한 金屬을 接合할 수 있다는 點이다. 鍛接이 可能한 金屬은 거의 어느 것이나, 그리고 베어링 材質이 아닌 金屬은 거의 모든 것이 壓接되며 심지어 但 熔接法으로는 困難하거나, 不可能한 異種材質의 接合도 摩擦壓接法으로는 可能하다. 그러나 鐵鐵에서는 그레파이트(graphite)가 摩擦性能을 低下시키므로 慣性熔接이 困難하며 熔融性이 높은 朱錫이나 錫等의 含量이 큰 青銅合金을 壓接하기에는 多少 困難한 點이 있다^{8,9)}. Table 1에 inertia F.W.이 可能한 金屬材料表를 部分的으로 表示하였다.

6. 摩擦壓接法(inertia法)의 應用 및 經濟性

摩擦壓接法을 金屬材料의 接合에 應用함으로써 生產工程의 簡素化, 時間과 勞動力의 節約, 材料의 節約 等으로 生產原價를 節減할 수 있는 것은 事實이다.

美國內 生產工場에서의 그 實例로서 國產化展望이 큰 것을 調查하여 다음과 같이 紹介하고자 한다.

(1) Pump shaft: stainless鋼柱으로 機械加工하여 만드는 대신 $\phi 31.75 \times 152.4\text{mm}$ 의 stainless鋼과 轴 $\phi 31.75 \times 213\text{mm}$ 의 SAE1018軟鋼을 壓接한 것(最小全長 357mm가 됨)을 機械加工(大部分 軟鋼 쪽에서 시도)하여 製造하였을 때 45%의 材料費 減少와 10%의 機械加工費 節約를 얻었고 壓接부에 對한 金屬顯微鏡 組織検査結果 優秀한 壓接임이 判明되었으며 이 摩擦壓接된 駆動軸이 3500rpm에서 시운전 되었을 때 아무런 异常이 없었다. 壓接時間은 2~4秒에 不過하였고 材料損失은 단지 8mm 以內였으며 生產率은 手動일 때 時間當 120個, 自動일 때 時間當 260個를 生產할 수 있었다.

(2) 排氣閥(自動車 Diesel engine用 및 gasoline engine用, 船用 Diesel engine用): 直徑 9.14mm의 排氣閥을 生產할 때 高價의 耐熱合金인 head部과 少許 耐摩滅性 低合金鋼 stem部와의 摩擦壓接이 flash butt welding을 代身하였다 때, 每時間當 600個의 生產이 可能하였다. valve生產業에 摩擦壓接이 應用되는 主利

摩擦壓接에 關한 考察(I)

點은 flash의 容易한 除去와 벨트의 異種材質의 成功的 接合과 多量生產性의 可能性에 있는 것 이다. 實驗結果 摩擦壓接에 依한 valve가 flash butt welding에 依한 것보다 熔接性能이 優秀하여 更強靄하다는 것이 判明되었다.^{10~12}.

(3) Power control drive shaft; SAE1045

鋼材로서 $\phi 49.23 \times 30.2\text{mm}$ 棒과 $\phi 25.39 \times 1004.1\text{mm}$ 軸과의 摩擦壓接이 upset 鍛造工程과 5個 矯正工程 等을 代替함으로써 個當 \$12.17의 費用을 節減시켰고(1972年度基準), 疲勞試驗 結果 破斷이 熔接部에서는 일어나지 않아 優秀한 接合結果였음을 알 수 있다.

(4) trunnion과 空·油壓 cylinder와의 接合; gas metal arc welding代身에 摩擦壓接을 應用함으로써 個當費用이 71% 節減된다.

(5) 軸과 pinion의 熔接: 鍛造은 8630鋼材

pinion과 SAE1035鋼材 管軸과의 摩擦壓接은 upset鍛造에 依한 것에 比해 約 50%의 生產原價節減을 얻었다.

(6) gear blank ($\phi 190.5\text{mm}$)와 軸 ($\phi 35\text{mm}$)과의 慣性壓接; 加壓 gas熔接에 比해 90%의 生產時間 節約를 얻을 수 있다.

(7) bolt; SAE4140 鋼材 16.13cm^2 正四角 head와 $\phi 28.52\text{mm}$ 의 shank를 摩擦壓接하여 bolt를 만들면 機械加工에 比해 55%의 生產原價節減이 있다.

(8) drill과 shank熔接; flash butt熔接代身 摩擦壓接에 依하면 約 10%의 生產原價 節減을 얻을 수 있다.

(9) 그外 代表의 摩擦壓接의 應用과 그 經濟性을 Table 2에 나타내었다.

Table 2. 摩擦壓接法(inertia法)의 應用 實例와 經濟性 (1972年 美國內 調査)

품명	재질, 규격	종전 가공법	경제성
트랙로울터 어셈블리 (Track roller assembly)	5.188"φ × 0.500 두께	서브머거지드 아아크 (Submerged arc; 용접)	17% 生산원가 절감
불 및 피니얼카스터 기어 (Bull & pinionacaster gear)	SAE 862판과 판 4.06"외경 2.62"내경	일체(一體) 단조	시간과 生산원가 절감
드라이브 shaft yoke (Drive shaft yoke)	SAE 1038 1.125"φ 봉과 단조물	일체 단조	"
드릴 (Drill)	M10 고속도강과 SAE 4140생크, 0.750"φ	flash butt welding	개당 0.308 결약 시간당 160개 생산
자동차 액슬 (Axe)	disc SAE 1045, 측 SAE 1020, 1.82"φ	일체 단조	시간과 生산원가 절감 성능우수
트레일러 브레이크 캠 (Trailer brake cam)	SAE 1049 1.814"φ	일체 단조	시간당 60개, 개당 24% 생산원가 절감
자동차 트랜스미션 출력축 (Automotive transmission output shaft)	판 SAE 1020 축 SAE 1141 축 직경 1.417"φ	단조 및 기계가공	용접부가 1,500 ft. lbs에 결림
프린트 프레스 토플러 (Printing press roller)	SAE 1020	기계가공(press fit)과 용 접조립	journal end에서 70%의 재료절약
프로펠러 축 (Propeller shaft)	SAE 8620 304 스테인리 스강, 1.187"φ	일체 스테인리스 단조	55%의 生산 원가 절감
리프트 링크볼 소켓 (Lift link-ball socket)	SAE 1045 연장판과 축 1.47"φ	단조링크(forged link)와 아아크/arc; 용접 슬리브(sleeve)	35%의 재료절약, 32%의 노동력 절약, 1개당 7.48 \$ 절약
자동차 후부 액슬 축 (Automotive rear axle shaft)	판 SAE 1010, 포온크 (fork) 0.34~0.40" splines 0.42~0.50"φ봉	아아크 용접	우수한 용접 강도 노동력 절약 시간절약, 비용절약

□ 解 說

팬 샤프트 (Fan shaft)	SAE 1018 플랜지 2.00"φ 축 2.00"φ 축	슈린크 헛트 아크용접 (shrink fit arc Weld.)	생산 원가 절약
브레이크 리버 축 (Brake lever shaft)	탄화, 경화축과 연강판 1.25"φ	아아크 용접	질의 향상과 개당 0.16 \$ 절약
스피드 선택터 축 (Speed selector shaft)	연강요오크(yoke) SAE 1045 축 3/4"φ	핀 결합 (pinned assembly)	개당 \$ 2.61 절약
트랙 캐리어 롤러브라켓 (Track carrier-roller bracket)	강판과 0.375"두께의 구조 강판 블록	SAE 1024의 캐스팅 (casting)	개당 4.72 \$ 절약
유압 피스턴로드 어셈블리 (Hydraulic piston rod assembly)	크롬백거울 인발 강봉과 판에서 절단한 아이(eye)	일체 단조	50% 생산원가 절약이 예상됨
자동차 트랜스미션 입력축 (Automotive transmission input shaft)	SAE 1141 축 SAE 1010컵 (cup) 축경 1.417"φ	단조 및 기체 가공	용접 성능 우수 용접 부가 1500 ft-lbs에 전달
오일 펌프 기어 (Oil pump gears)	SAE 1018 톱 절단 (saw cut), 냉간 인발 용	일체 단조	개당 15~30%의 원가 절감
디스크 브레이크 칼리퍼 (Disc brake caliper)	SAE 1020 0.187"두께 × 2.275"φ 컵 (cup)과 판 (plate)	malleable iron casting	기체 가공의 난점을 일소시 켜줌
트랙 롤러 부싱 (Track roller bushing)	SAE 1010과 1010	아아크	개당 0.5 \$ 절약
섬직기 로울러 (Textile rollers)	SAE 1020 외판 33/16~7/16"두께 내판 1 1/2~7/16"두께	아아크	원가 절감
자동차 조정 로드 (Steering rod)	판 1020과 육각봉 1045 판 0.75"φ와 판	일체 단조	원가 절감 성능 우수
자전거 디스크 브레이크 결합틀 (Disc brake assembly)	SAE 1020 판과 1010판 2"φ, 1/8"두께 판과 강판	아아크 또는 가단 주철	원가 절감 용접 성능 우수
자전거 포오크(Fork)	SAE 1020상온 압연판과 fork 단조풀	아아크용접 플레쉬 버트 용접	용접 성능 매우 우수, 다양 생산, 생산원가 절감, 작업 간단
키이웨이 커터 (Key way cutter)	SAE 6145 생크와 M-4 공구강 커터헤드	기체 가공	재료, 기체 가공, 시간 절약, 25% 생산원가 절감, 시간 당 100개 생산 능력
고압 호우스 카플링 (High-pressure hose coupling)	SAE 1141 스퍼드 (spud)와 스템(stem), SAE 9630의 판을 소정 크기와 형상으로 굽곡	노내 브레이징(furnace brazing) 정밀기체가공, 특수 표면처리, 열처리 브레이징(bra- zing)에 의한 프레스핏트 조인트(press fit joint)	생산 기간이 40%로 단축 스크랩(scrap)비가 25~30 %로부터 1%로 감소
에어 콘디셔너 팬축 (Air conditioner fan shaft)	SAE 1016축, 2 3/8"φ SAE 1010판, 37/64"두께 × 5 5/32"φ SAE 1010봉, 2 3/8"φ	아아크 또는 플레쉬 버트 용접 (flash butt welding)	용접 성능 우수 생산 원가 절감

7. 結論

以上과 같이 摩擦壓接法(inertia法)의 特性과 應用 및 그 經濟性와 優秀함을 論하였고 應用 實例를 列舉함으로써 摩擦壓接의 過速한 國產化에 조금이라도 寄與하고자 하였다. 先進國에서는 高壓容器나 宇宙產業用材料의 熔接에도 慣性壓接을 應用할 만큼 그 應用範圍가 넓으며, 오늘날 우리나라의 機械工業도 크게 發達되어 機械生產品의 質的向上과 生產原價節減을 通한 國產機械類의 海外市場 開拓 및 競爭勝利를 為해 우리나라에도 摩擦壓接法이 應用되어야 할 때가 来다고 確信한다.

參 考 文 獻

- 1) T.L. Oberle, C.D. Loyd and M.R. Calton, Metal Progress, Vol. 87, No. 6, p.104, June, 1965.
- 2) T.L. Oberle, C.D. Loyd and M.R. Calton, SAE Trans, Section 3, Vol. 75, pp.28~35,
- 3) T.L. Oberle, M.R. Calton, C.D. Loyd and C. F. White, US patent No. 3, 273, 233, Sep. 20, 1966.
- 4) 吳世奎, 大韓造船學會誌, 9卷 2號, p.43~48, 1972.
- 5) 吳世奎, 釜山工專研究論文集, 13卷, p. 147~159, 1973.
- 6) 吳世奎, 釜山工專研究論文集, 17卷, p.223~235, 1976.
- 7) 吳世奎, Journal of P.T.C., Vol. 18, p.203~214, 1977.
- 8) AWS, "Welding Handbook," Chap. 50, Friction Welding, 50.3~50.37, 1970.
- 9) ASM, "Metals Handbook," Vol. 6, Friction Welding, pp.507~518, 1971.
- 10) 吳世奎, 大韓機械學會誌, 第14卷, 第3號, p.221~232, 1974.
- 11) 吳世奎, 韓國漁業技術學會誌, 14卷 2號, p.79~87, 1978.
- 12) 吳世奎, 大韓機械學會 1980年度 春季學術大會發表 (1980.7.26韓國科學院에서 發表).